

# DNS

## Sujet

<b>Champs E et B dans un condensateur.....</b>	<b>2</b>
I. <u>Généralités.....</u>	2
II. <u>Symétries.....</u>	2
III. <u>Champ E dans un condensateur plan (sans effets de bords) en électrostatique.....</u>	4
A. <u>Discontinuité de E à la traversée d'une surface chargée (rappel).....</u>	4
1) <u>Exemple de la sphère.....</u>	4
2) <u>Exemple du plan infini.....</u>	5
B. <u>Champ électrostatique dans un condensateur plan.....</u>	5
IV. <u>Champs dans un condensateur plan en régime lentement variable.....</u>	6
A. <u>Champ E entre les armatures.....</u>	7
B. <u>Champ B entre les armatures.....</u>	7
1) <u>Le théorème d'Ampère.....</u>	7
2) <u>Détermination de B.....</u>	7
3) <u>L'approximation.....</u>	8
V. <u>Étude générale des champs dans un condensateur plan en régime variable.....</u>	8
A. <u>Méthode par approximations successives.....</u>	9
1) <u>Étape 1.....</u>	9
2) <u>Étape 2.....</u>	9
3) <u>Étape 3.....</u>	9
4) <u>Conclusion.....</u>	9
B. <u>Méthode résolution de l'équation différentielle vérifiée par E.....</u>	9
1) <u>Équation différentielle pour le champ électrique.....</u>	9
2) <u>Résolution de l'équation différentielle pour le champ électrique.....</u>	11

# Champs E et B dans un condensateur

## I. Généralités

1. Donner l'unité pour le champ  $\vec{E}$  (champ électrostatique ou électrique).
2. Donner l'unité pour le champ  $\vec{B}$  (champ magnétique).

## II. Symétries

3. En électromagnétisme, qu'appelle-t-on:

- plan de symétrie pour une distribution de charges et de courants
- plan d'antisymétrie pour une distribution de charges et de courants.

Le champ électrique  $\vec{E}$  est un « vrai » vecteur ou vecteur polaire. Le champ magnétique  $\vec{B}$  est un « faux » vecteur ou « pseudo » vecteur ou vecteur axial. On rappelle:

- Si  $M'$  est le point symétrique de  $M(x, y, z)$  par rapport à un plan  $(P)$  de symétrie de la distribution des sources, on a:

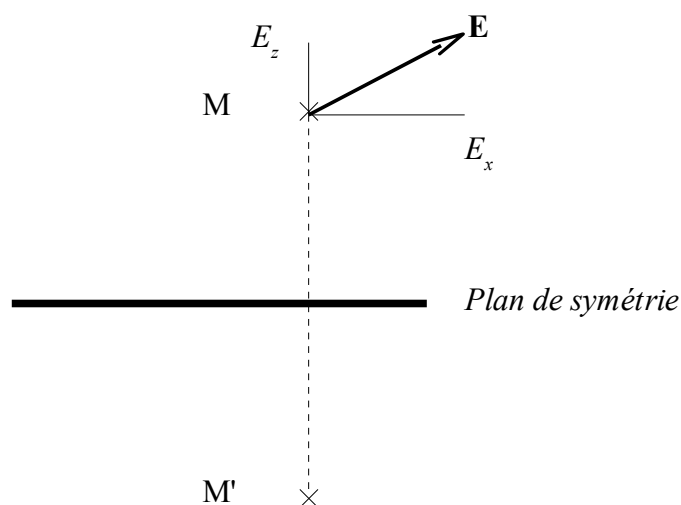
$$\vec{E}(M' \text{ symétrique de } M / \text{plan}) = \text{symétrique de } \vec{E}(M) / \text{plan}$$

$$\vec{B}(M' \text{ symétrique de } M / \text{plan}) = -\text{symétrique de } \vec{B}(M) / \text{plan}$$

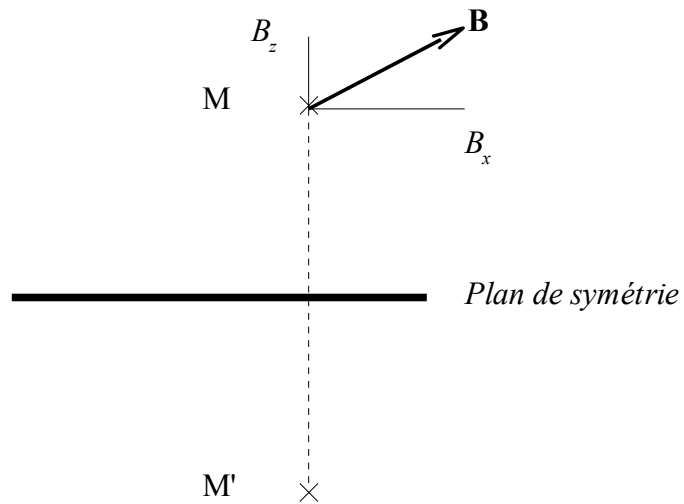
- Si  $M'$  est le point symétrique de  $M(x, y, z)$  par rapport à un plan  $(P)$  d'antisymétrie de la distribution des sources, il faut faire le « contraire ».

4. Compléter les quatre schémas suivants (le plan  $(P)$  est un plan  $xy$ , le champ est supposé dans le plan  $xz$  pour simplifier) en traçant  $\vec{E}(M')$  (ou  $\vec{B}(M')$ ).

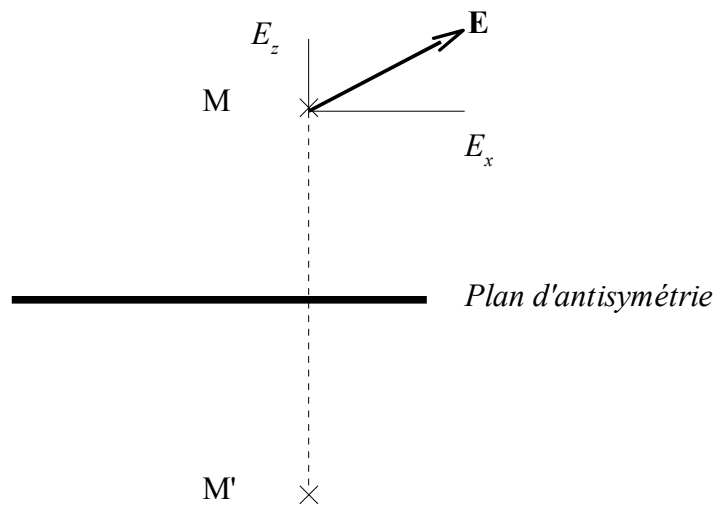
Étude de  $\mathbf{E}$   
(Plan de symétrie)



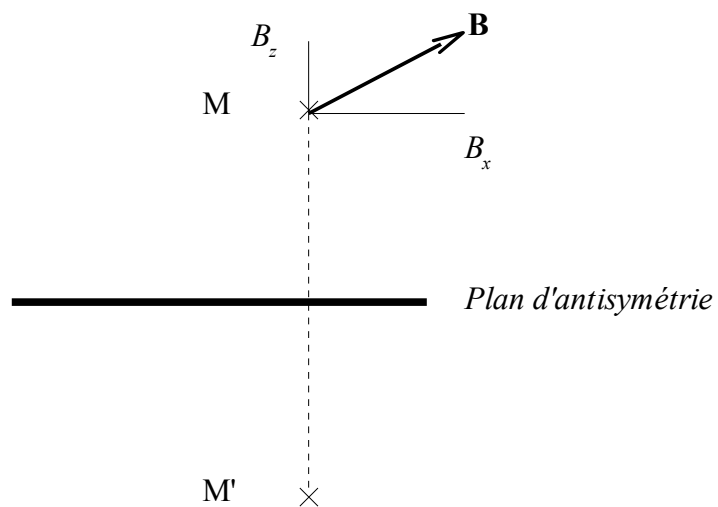
Étude de **B**  
(Plan de symétrie)



Étude de **E**  
(Plan d'antisymétrie)



Étude de **B**  
(Plan d'antisymétrie)



On note par exemple pour  $\vec{E}(M)$  (idem pour  $\vec{B}(M)$ ):

$$\vec{E}(x, y, z) = E_x(x, y, z)\vec{u}_x + E_z(x, y, z)\vec{u}_z$$

où  $\vec{u}_x, \vec{u}_y, \vec{u}_z$  désignent les vecteurs unitaires. On suppose que le plan de symétrie ( $P$ ) (ou d'antisymétrie) a pour équation  $z=0$ .

5. Pour chacun des quatre cas (cf: les quatre schémas précédents), donner l'expression du champ en  $M'$  et en déduire la parité ou l'imparité des composantes  $E_x$  et  $E_z$  (ou  $B_x$  et  $B_z$ ) par rapport à  $z$ .
6. On envisage alors le cas particulier où  $M$  se trouve sur le plan ( $P$ ) de sorte que ce plan  $Mxy$  est un plan de symétrie (ou d'antisymétrie). Que peut-on en déduire dans les quatre cas concernant  $\vec{E}(M)$  (ou  $\vec{B}(M)$ ). Justifier avec précision en partant de l'étude précédente et illustrer à chaque fois par un schéma.
7. On vient donc dans la question précédente de retrouver les règles de base connues, à utiliser en premier, lors de l'étude des symétries. Énoncer ces règles.

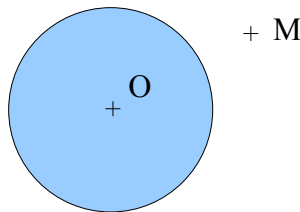
### III. Champ E dans un condensateur plan (sans effets de bords) en électrostatique

#### A. Discontinuité de E à la traversée d'une surface chargée (rappel)

##### 1) Exemple de la sphère

On considère une sphère de centre  $O$ , de rayon  $R$  chargée uniformément en surface par une charge totale  $Q$ .

8. Donner l'expression de la densité surfacique de charge  $\sigma$  en fonction des données. Quelle est l'unité de  $\sigma$  ?



9. Soit un point  $M$  quelconque.

- Existe-t-il des plans de symétrie ou d'antisymétrie contenant le point  $M$  ? Préciser et en déduire la direction de  $\vec{E}(M)$ .
- Le point  $M$  est repéré en coordonnées sphériques dans une base sphérique. Rappeler sur un dessin les coordonnées sphériques ainsi que la base sphérique utilisée. Justifier finalement que  $\vec{E}(M) = E(r)\vec{u}_r$  avec  $\vec{u}_r$  : vecteur unitaire radial.

10. On rappelle le théorème de Gauss: le flux de  $\vec{E}$  sortant d'une surface fermée  $\Sigma$  est caractéristique de la source  $Q_{int}$  contenue à l'intérieur de cette surface fermée. Il vaut  $\frac{1}{\epsilon_0}Q_{int}$  :

$\oiint_{\Sigma} \vec{E} d\vec{S} = \frac{1}{\epsilon_0} Q_{int}$ . On utilise ici le théorème de Gauss pour déterminer  $\vec{E}$ .

- Quelle surface de Gauss  $\Sigma$  passant par  $M$  doit-on utiliser pour que la simplification  $\oiint_{\Sigma} \vec{E} d\vec{S} = E(M)S$  soit possible ? Justifier avec précision.
- En déduire  $\vec{E}(r > R)$  et  $\vec{E}(r < R)$  en fonction notamment de  $\sigma$ .
- Déterminer la limite à droite de  $E(r)$  pour  $r = R$ . Idem pour la limite à gauche. Que vient-on de vérifier ici concernant  $\vec{E}(r = R)$  ?

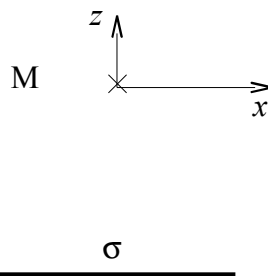
11. La relation de discontinuité pour  $\vec{E}(M)$  à la traversée d'une surface chargée entre deux milieux 1 et 2 est la suivante:

$$\underbrace{\vec{E}_2(M)}_{\text{(au voisinage de M dans le milieu 2)}} - \underbrace{\vec{E}_1(M)}_{\text{(au voisinage de M dans le milieu 1)}} = \frac{\sigma(M)}{\epsilon_0} \underbrace{\vec{n}_{1 \rightarrow 2}}_{\text{( } \vec{n}_{1 \rightarrow 2} \text{ est la normale en M du milieu 1 vers le milieu 2 )}}$$

Montrer que cette relation est bien vérifiée dans le cas de la sphère chargée en surface.

## 2) Exemple du plan infini

On considère un plan d'équation  $z = 0$  uniformément chargé par  $\sigma$ . On considère un point  $M$  n'appartenant pas à ce plan.



12. Préciser le(s) plan(s) de symétrie ou d'antisymétrie passant par  $M$ .

13. Montrer que  $\vec{E}(M) = E(z)\vec{u}_z$  avec  $E(z)$  fonction impaire de  $z$ .

14. En utilisant le théorème de Gauss sur une surface intelligemment choisie, montrer que  $\vec{E}$  est uniforme pour  $z > 0$ . Idem pour  $z < 0$ .

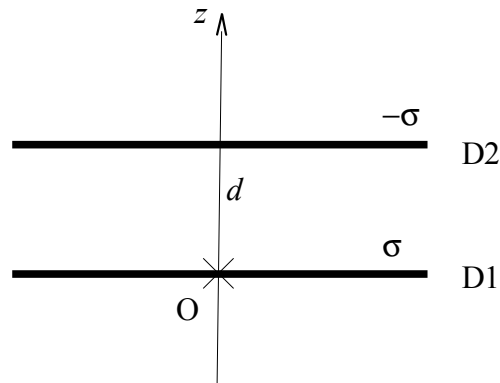
15. Par utilisation de la relation de discontinuité de  $\vec{E}$  à la traversée d'une surface chargée (relation rappelée plus haut), déterminer alors  $\vec{E}$  en tout point de l'espace.

## B. Champ électrostatique dans un condensateur plan

Un condensateur plan est constitué de deux armatures:

- un disque  $DI$  en  $z = 0$ , de rayon  $R$ , de centre  $O$ , d'axe  $Oz$  supposé chargé uniformément par  $\sigma$  (supposé positif)

- un disque identique  $D2$  en  $z=d$ , de même axe, chargé uniformément par  $-\sigma$ .



Dans la suite, on suppose toujours que la distance à l'axe  $r$  est telle que:  $r < R$  et l'on suppose aussi que le champ est le même que si les deux plans étaient d'extension infinie.

16. Par superposition des champs créés par chaque armature, déterminer  $\vec{E} = E(z)\vec{u}_z$  en fonction de  $\sigma$

- pour  $z < 0$
- pour  $0 < z < d$
- pour  $z > d$

Tracer  $E(z)$  en fonction de  $z$ .

17. Déterminer le potentiel électrostatique  $V$  en fonction d'une constante arbitraire et tracer  $V(z)$  en fonction de  $z$ .

18. On note  $V(z=0)=V_1$ ,  $V(z=d)=V_2$ ,  $U=V_1-V_2$  (différence de potentiel),  $Q$  charge du disque  $D1$ .

- Montrer que  $Q=CU$  où  $C$  désigne la capacité du condensateur plan, à exprimer en fonction de  $R$ ,  $\epsilon_0$  et  $d$ .
- Exprimer  $\vec{E}=E_0\vec{u}_z$  entre les armatures avec  $E_0$  à déterminer en fonction de  $U$  et  $d$ .

#### IV. Champs dans un condensateur plan en régime lentement variable.

Le condensateur est soumis désormais à une tension alternative basse fréquence, à  $50\text{ Hz}$ , notée  $u(t)=U_{\max}\cos(\omega t)$ . Il existe alors un champ électrique  $\vec{E}$  mais aussi un champ magnétique  $\vec{B}$  dans l'espace interarmatures.

19. Calculer la valeur numérique de  $\omega$  et préciser son unité.
20. On travaille en coordonnées cylindriques d'axe  $Oz$ . Rappeler l'expression générale d'un déplacement  $d\vec{l}$  en coordonnées cylindriques  $r, \theta, z$  dans la base  $(\vec{u}_r, \vec{u}_\theta, \vec{u}_z)$ .
21. Montrer que  $\vec{B}(M, t)$  est de la forme  $\vec{B}(M, t)=B(M, t)\vec{u}_\theta=B(r, z, t)\vec{u}_\theta$ .

### A. Champ E entre les armatures

On admet que l'on peut, à cette fréquence, travailler dans le cadre de l'approximation des régimes quasistationnaires électriques. Dans ce cas, le champ  $\vec{E}$  dans le condensateur se calcule comme en électrostatique mais, cette fois, la tension, donc le champ, dépendent du temps.

22. Écrire  $\vec{E}(M, t)$  sous la forme  $\vec{E}(M, t) = E_0 \cos(\omega t) \vec{u}_z$  et donner l'expression de  $E_0$  en fonction de  $U_{max}$  et des autres données de l'énoncé.

### B. Champ B entre les armatures

#### 1) Le théorème d'Ampère

En magnétostatique ( $\vec{B}$  indépendant du temps), le théorème d'Ampère s'écrit sous la forme:  $\oint_C \vec{B} d\vec{l} = \mu_0 I_{enlacé}$ . Mais dans le cas général ( $\vec{B}$  dépendant du temps), on doit utiliser le théorème d'Ampère généralisé:  $\oint_C \vec{B} d\vec{l} = \mu_0 I_{enlacé} + \frac{1}{c^2} \frac{d}{dt} \iint_S \vec{E} d\vec{S}$  ( $S$  désigne la surface ouverte orientée s'appuyant sur le contour fermé orienté  $C$ ) où  $c$  désigne la vitesse de la lumière dans le vide avec  $\epsilon_0 \mu_0 c^2 = 1$ .

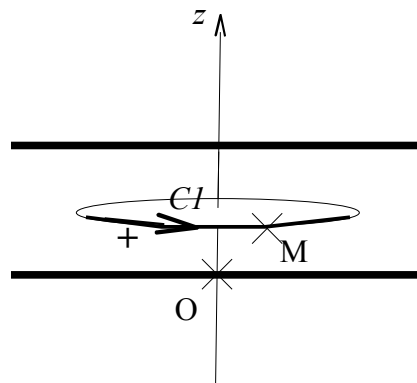
23. Justifier que, si l'on reste dans l'espace interarmatures, le théorème d'Ampère s'écrit:

$$\oint_C \vec{B} d\vec{l} = \frac{1}{c^2} \frac{d\Phi_E}{dt} \quad (\text{relation 1})$$

Que signifie  $\Phi_E$  ?

#### 2) Détermination de B

Pour déterminer  $\vec{B}(M, t)$ , on choisit un cercle (courbe  $CI$ ) de cote  $z$ , de rayon  $r$ , centré sur l'axe  $Oz$  et passant par le point  $M$ .



Ce cercle est orienté par l'axe  $Oz$  (voir sens positif sur la figure).

24. Montrer que  $\oint_{CI} \vec{B} d\vec{l} = B(M, t) \times LI$  et préciser  $LI$ .

25. La surface  $SI$  est la surface plane s'appuyant sur le cercle  $CI$ . Exprimer l'élément de surface  $d\vec{S}$  en cylindriques en utilisant le produit de deux déplacements élémentaires et un vecteur unitaire.

26. Exprimer  $\Phi_E$  puis  $\frac{d\Phi_E}{dt}$ .

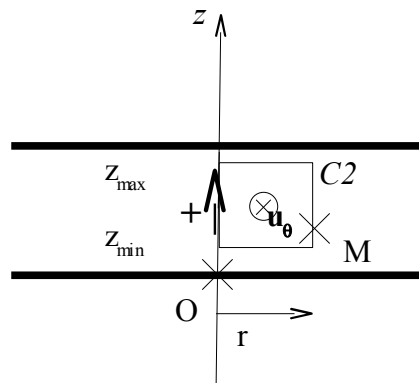
27. En déduire  $\vec{B}(M, t)$  en fonction de  $E_0$  et des autres données du problème.

3) *L'approximation*

Les champs  $\vec{E}$  et  $\vec{B}$  doivent vérifier:

- le théorème d'Ampère ( ici: (relation 1) )
- la loi de Faraday:  $\oint_C \vec{E} \cdot d\vec{l} = -\frac{d}{dt} \iint_S \vec{B} \cdot d\vec{S}$  ou (relation 2) (  $S$  désigne la surface ouverte orientée s'appuyant sur le contour fermé orienté  $C$  )

Pour vérifier la (relation 2), on choisit un rectangle ( courbe  $C2$  ) d'angle  $\theta$ , de largeur  $r$ , de hauteur  $\Delta z = z_{\max} - z_{\min} > 0$  orientée par le vecteur  $\vec{u}_\theta$  et passant par le point  $M$  (voir figure). La surface  $S2$  est la surface plane s'appuyant sur le contour.



28. Exprimer l'élément de surface  $d\vec{S2}$  en cylindriques en utilisant le produit de deux déplacements élémentaires et un vecteur unitaire.

29. En utilisant l'expression de  $\vec{B}$  obtenue précédemment, donner l'expression de  $\Phi_B$  puis de  $-\frac{d\Phi_B}{dt}$ .

30. En utilisant l'expression de  $\vec{E}$  obtenue précédemment, déterminer la circulation  $\oint_{C2} \vec{E} \cdot d\vec{l}$ .

Montrer avec précision que cette circulation se ramène à deux termes qui s'annulent

31. En déduire que dans le cadre de l'approximation des régimes quasistationnaires électriques, la (relation 1) est vérifiée mais la (relation 2) n'est pas vérifiée rigoureusement.

## V. Étude générale des champs dans un condensateur plan en régime variable.

On utilise désormais les notations complexes et l'on pose:



$$\vec{E}(r, t) = \underline{E}(r) \exp(j \omega t) \vec{u}_z$$

$$\vec{B}(r, t) = \underline{B}(r) \exp(j \omega t) \vec{u}_\theta$$

On choisit aussi de désigner le champ électrique en  $r=0$  par:

$$\vec{E}(r=0, t) = E_0 \exp(j \omega t) \vec{u}_z$$

### A. Méthode par approximations successives

#### 1) Étape 1

32. Le champ  $\vec{E}$  est supposé uniforme comme en électrostatique. On note  $\vec{E}(r, t) = \vec{E}_0(t)$ . Écrire  $\vec{E}_0(t)$ .

33. Le champ  $\vec{B}$  est choisi pour vérifier la (relation 1) (théorème d'Ampère). On note  $\vec{B}(r, t) = \vec{B}_0(r, t)$ . Déterminer  $\vec{B}_0(r, t)$ .

#### 2) Étape 2

34. Le champ  $\vec{E}$  doit vérifier la (relation 2) (loi de Faraday). On note  $\vec{E}(r, t) = \vec{E}_0(t) + \vec{E}_1(r, t)$  où  $\vec{E}_1$  est un terme correctif par rapport à l'étape 1. Ce terme est choisi nul sur l'axe. Déterminer  $\vec{E}_1(r, t)$  dont l'expression est en lien avec  $\vec{B}_0(r, t)$ .

35. Il faut alors corriger  $\vec{B}$ . On pose  $\vec{B}(r, t) = \vec{B}_0(r, t) + \vec{B}_1(r, t)$  où  $\vec{B}_1$  est un terme correctif. Déterminer  $\vec{B}_1(r, t)$  dont l'expression est en lien avec  $\vec{E}_1(r, t)$ .

#### 3) Étape 3

36. On en arrive alors à poser:  $\vec{E}(r, t) = \vec{E}_0(t) + \vec{E}_1(r, t) + \vec{E}_2(r, t)$ . Déterminer  $\vec{E}_2$  (en lien avec  $\vec{B}_1$ ).

37. De même:  $\vec{B}(r, t) = \vec{B}_0(r, t) + \vec{B}_1(r, t) + \vec{B}_2(r, t)$ . Déterminer  $\vec{B}_2$  (en lien avec  $\vec{E}_2$ ).

#### 4) Conclusion

38. On peut poursuivre la démarche indéfiniment et donc  $\vec{E}$  et  $\vec{B}$  apparaissent sous forme de développements. Écrire le résultat pour ces deux champs en limitant le développement à trois termes.

### B. Méthode résolution de l'équation différentielle vérifiée par E

#### 1) Équation différentielle pour le champ électrique

On se propose de déterminer directement  $\underline{E}(r)$  en partant toujours de la (relation 1) et de la (relation 2). On ne peut plus travailler sur une surface finie puisque ne connaissant pas, a priori, la dépendance des champs avec  $r$ , on ne pourrait calculer les intégrales de surface. On choisit alors un contour élémentaire, entourant une surface élémentaire ne faisant intervenir qu'une seule valeur de  $r$ . Plus exactement,  $r$  variera formellement de manière élémentaire entre  $r$  et  $r + dr$ .

(On pourrait envisager de travailler entre  $r$  et  $r + \Delta r$  et considérer ensuite des limites lorsque  $\Delta r \rightarrow 0$ , ce qui reviendrait à ne garder que les termes du premier ordre en  $\Delta r$ . D'une certaine façon, c'est ce que l'on fait en travaillant directement

avec la notation différentielle  $dr$  et les éventuels termes qui apparaîtraient en  $dr^2$  sont donc à éliminer. La méthode avec  $\Delta r$  serait bien plus lourde à manipuler).

On rappelle donc les écritures mathématiques utilisées ici:

$$df(r) = f(r+dr) - f(r) = \frac{df(r)}{dr} dr \quad (\text{fait apparaître une dérivée})$$

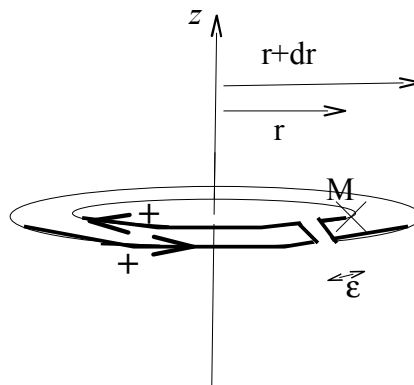
$$\text{et } g(r+dr, t) - g(r, t) = \frac{\partial g(r, t)}{\partial r} dr \quad (\text{fait apparaître une dérivée partielle})$$

(la différentielle de la fonction  $g(r, t)$  correspondrait avec cette notation à  $dg(r, t) = g(r+dr, t+dt) - g(r, t)$ )

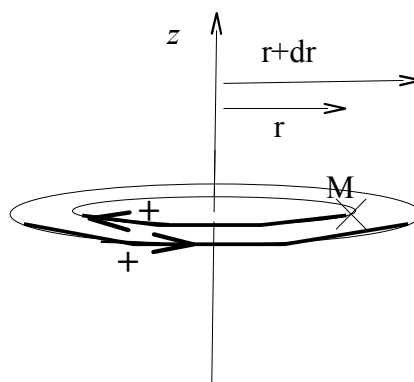
On verra donc apparaître des dérivées et l'on pourra obtenir finalement l'équation différentielle recherchée.

#### a) Théorème d'Ampère sur un contour élémentaire

Pour le théorème d'Ampère (*relation 1*), le contour fermé utilisé est le suivant:



Il s'agit d'un contour à  $z$  constant formé deux cercles de rayons  $r$  et  $r+dr$ . La coupure  $\varepsilon$  tendant vers zéro lors du passage à la limite, on considérera dès le départ « le » contour suivant:

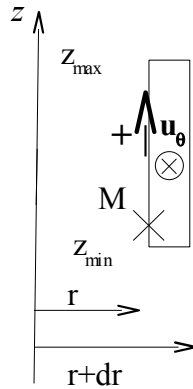


On remarque bien que le dessin ne doit pas induire en erreur puisque  $dr$  est en fait un élément différentiel.

39. Appliquer le théorème d'Ampère et en déduire une première équation différentielle reliant  $\underline{E}(r)$  et  $\underline{B}(r)$ .

b) Loi de Faraday sur un contour élémentaire

Pour la loi de Faraday (*relation 2*), le contour fermé utilisé est le suivant:



40. Appliquer la loi de Faraday et en déduire une deuxième équation différentielle reliant  $\underline{E}(r)$  et  $\underline{B}(r)$ .

c) Équation différentielle

41. Déduire des deux équations différentielles couplées, l'équation différentielle vérifiée par  $\underline{E}(r)$ .

*2) Résolution de l'équation différentielle pour le champ électrique*

On rappelle que:  $\underline{E}(r=0) = E_0$ .

On donne:  $\frac{d\underline{E}}{dr}(r=0) = 0$  car sur l'axe se trouve un extremum pour le champ.

42. Rechercher pour le champ une solution de la forme  $\underline{E}(r) = \sum_{n=0}^{\infty} \underline{a}_n r^n$ .

43. Comparer le résultat final au début de solution obtenu par la méthode précédente.

## Réponses

1)  $\vec{E}$  a pour unité :

$$V \cdot m^{-1}$$

(cf :  $-\vec{\text{grad}} V$ )

2)  $\vec{B}$  est en Tesla

$$T$$

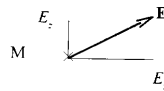
3) Soit  $M'$  le symétrique de  $M$  par rapport au plan  $(P)$   
Ce plan est dit plan de symétrie si :

$$\forall M \quad \begin{aligned} q(M') &= q(M) \\ \vec{f}(M') &= \text{sym } \vec{f}(M) / \text{plan } (P) \end{aligned}$$

Ce plan est dit plan d'antisymétrie si on passe de  $M$  à  $M'$   
pour les sources par une symétrie et une inversion des  
charges soit :

$$\forall M \quad \begin{aligned} q(M') &= -q(M) \\ \vec{f}(M') &= -\text{sym } \vec{f}(M) / \text{plan } (P) \end{aligned}$$

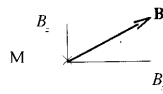
4)



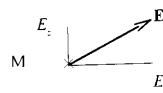
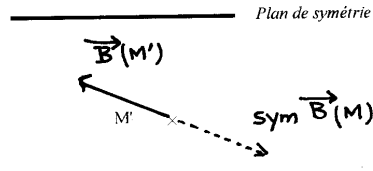
Étude de  $E$   
(Plan de symétrie)

Plan de symétrie

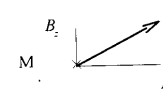
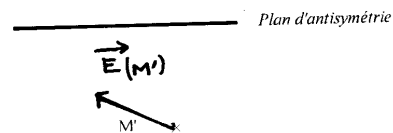




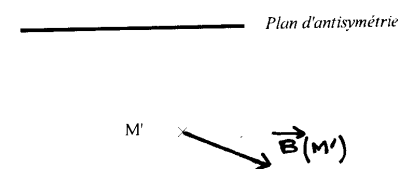
Étude de  $\vec{B}$   
(Plan de symétrie)



Étude de  $\vec{E}$   
(Plan d'antisymétrie)



Étude de  $\vec{B}$   
(Plan d'antisymétrie)



5) a)  $\vec{E}$ , plan de symétrie

$$M: \vec{E}(x, y, z) = E_x(x, y, z) \vec{u}_x + E_z(x, y, z) \vec{u}_z$$

$$M': \quad \text{avec} \quad \begin{aligned} x_{M'} &= x_M \\ y_{M'} &= y_M \\ z_{M'} &= -z_M \end{aligned}$$

$$\begin{aligned} \vec{E}(x, y, -z) &= E_x(x, y, -z) \vec{u}_x + E_z(x, y, -z) \vec{u}_z \\ &= E_x(x, y, z) \vec{u}_x - E_z(x, y, z) \vec{u}_z \end{aligned}$$

$E_x$  fn paire de  $z$   
 $E_z$  fn impaire de  $z$

b)  $\vec{B}$ , plan de symétrie

$$\begin{aligned}\vec{B}(x, y, -z) &= B_x(x, y, -z) \vec{u}_x + B_y(x, y, -z) \vec{u}_y \\ &= -B_x(x, y, z) \vec{u}_x + B_y(x, y, z) \vec{u}_y\end{aligned}$$

$$\begin{aligned}B_x &\text{ fn impaire de } z \\ B_y &\text{ fn paire de } z\end{aligned}$$

c)  $\vec{E}$ , plan d'antisymétrie

idem que 5b) avec  $B \rightarrow E$

d)  $\vec{B}$ , plan d'antisymétrie

idem que 5a) avec  $E \rightarrow B$

6) on fait donc  $z=0$

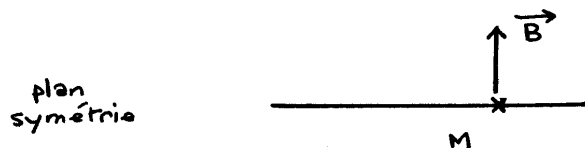
a)  $M \in$  plan de symétrie  $z=0$

d'après 5a) puisque  $E_z$  est impaire en  $z$ , on a donc  
 $E_z = 0$



b)  $M \in$  plan de symétrie  $z=0$

$$B_x = 0 \quad (\text{idem } B_y = 0)$$

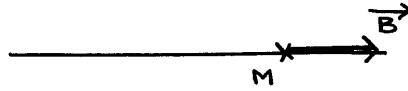


c) cf voir b)



d) cf voir a)

plan  
antisymétrie



7) règles premières :

si  $M \in$  plan de symétrie de la distribution  
 $\vec{E}(M)$  est dans le plan  
 $\vec{B}(M)$  est perpendiculaire au plan

si  $M \in$  plan d'antisymétrie de la distribution  
 $\vec{E}(M)$  est perpendiculaire au plan  
 $\vec{B}(M)$  est dans le plan

8)

$$dq = \sigma dS$$

on intègre sur la sphère

$$\begin{aligned} \int_{\text{sphère}} dq &= \int_{\text{sphère}} \sigma dS \\ &= \sigma \int_{\text{sphère}} dS \end{aligned}$$

$$Q = \sigma 4\pi R^2$$

$$\sigma = \frac{Q}{4\pi R^2}$$

9) →

Tout plan passant par M et contenant O (donc contenant un diamètre) est un plan de symétrie contenant M.

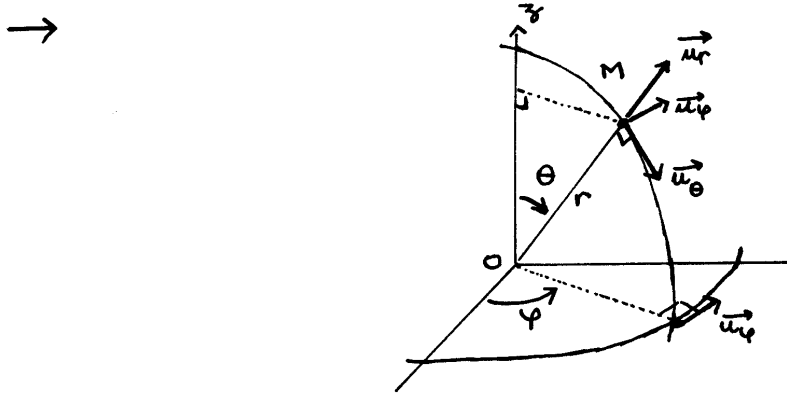
Il y a une infinité de plans contenant OM.

$\vec{E}(M)$  appartient à tous ces plans. Il est donc

radial

$$\vec{E}(M) = E(M) \vec{u}_r$$

avec  $\vec{u}_r = \frac{\vec{OM}}{\|\vec{OM}\|}$



→ Le problème est à symétrie sphérique. Il y a invariance en rotation selon  $\theta$  et selon  $\varphi$

$$\vec{E}(M) = E(r, \theta, \varphi) \vec{u}_r$$

$$\vec{E}(M) = E(r) \vec{u}_r$$

1°)

→

$$\oint_{\Sigma} \vec{E} \cdot d\vec{S} = \oint_{\Sigma} E \underbrace{\vec{u}_r \cdot d\vec{S}}_{= dS \text{ si } d\vec{S} \text{ est selon } \vec{u}_r}$$

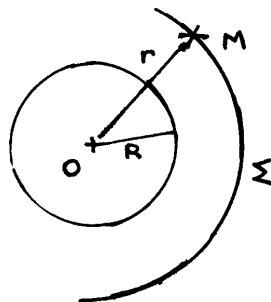
On choisit une surface de Gauss telle que  $d\vec{S} = dS \vec{u}_r$

$$\begin{aligned} \oint_{\Sigma} \vec{E} \cdot d\vec{S} &= \oint_{\Sigma} E_{(r)} dS \\ &= E(r) \oint_{\Sigma} dS \end{aligned}$$

On choisit une surface de Gauss telle que  $r = \text{constante}$

La surface de Gauss est la sphère centrée en O et passant par le point M étudié.

→  $r > R$





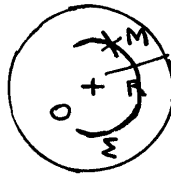
$$\oint \vec{E} \cdot d\vec{S} = \frac{1}{\epsilon_0} Q_{int}$$

$$E(r) 4\pi r^2 = \frac{1}{\epsilon_0} Q$$

$$\vec{E}_{(r>R)} = \frac{Q}{4\pi\epsilon_0 r^2} \vec{u}_r$$

$$\boxed{\vec{E}_{(r>R)} = \frac{\sigma}{\epsilon_0} \frac{R^2}{r^2} \vec{u}_r}$$

→  $r < R$

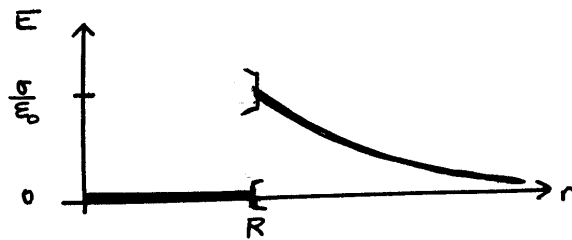


$$\oint \vec{E} \cdot d\vec{S} = \frac{1}{\epsilon_0} Q_{int}$$

nul

$$\boxed{\vec{E}_{(r<R)} = \vec{0}}$$

→ tracé de  $E(r)$  - on suppose  $\sigma > 0$  -

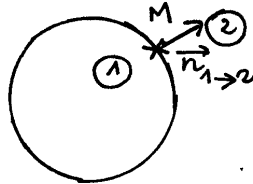


limite à droite en R soit  $r = R^+$   $\vec{E} = \frac{\sigma}{\epsilon_0} \vec{u}_r$   
 limite à gauche en R soit  $r = R^-$   $\vec{E} = \vec{0}$

Les deux limites sont différentes.

$\vec{E}$  n'est pas défini  
sur la surface chargée  
en  $r = R$

- 11) Vérification de la formule générale traduisant la discontinuité à la traversée d'une surface chargée :



formule	$\vec{E}_2(M) - \vec{E}_1(M) = \frac{\sigma(M)}{\epsilon_0} \vec{n}_{1 \rightarrow 2}$
ici	$\frac{\sigma}{\epsilon_0} \vec{u}_r - \vec{0} = \frac{\sigma}{\epsilon_0} \vec{u}_r$

La relation est bien vérifiée.

- 12) Il y a une infinité de plans de symétrie contenant M. Ce sont tous les plans verticaux passant par M.

Exemples de plans de symétrie passant par le point M

$$M \in z$$

$$M \in y$$

- 13)  $\vec{E}(M)$  appartient à tous les plans de symétrie donc à leur intersection (donc il est selon  $\vec{u}_z$ )

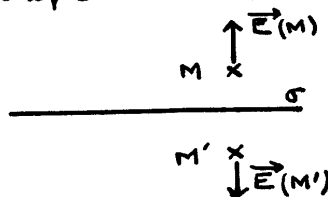
$$\vec{E}(M) = E(x, y, z) \vec{u}_z$$

→ Le problème est invariant en translation selon  $x$  et selon  $y$  puisque le plan est illimité

$$E = E(x', y', z)$$

$$\vec{E}(M) = E(z) \vec{u}_z$$

→ On considère  $M'$  symétrique de  $M$  par rapport au plan chargé  $Oxy$  donc

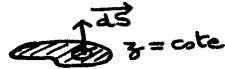


$$\begin{aligned}
 \vec{E}(M) &= E(z) \vec{u}_z \\
 \vec{E}(M') &= E(-z) \vec{u}_z & \text{car } z_{M'} = -z_M \\
 &= -E(z) \vec{u}_z & \text{car } \vec{E}(M') = -\vec{E}(M)
 \end{aligned}$$

donc  $E(-z) = -E(z)$

$E(z)$  est une fonction impaire de  $z$

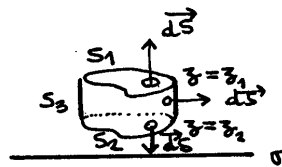
14) → Puisque  $\vec{E} = E(z) \vec{u}_z$ , on va choisir un  $d\vec{S}$  selon  $\vec{u}_z$  à  $z$  constant (alors  $\iint \vec{E} d\vec{S} = E S$ )



\_\_\_\_\_  $\sigma$

mais cette surface n'est pas fermée.

→ Finalement, on décide de considérer la surface fermée cylindrique suivante entre  $z = z_1$  et  $z = z_2$  tous deux positifs. La surface  $\Sigma$  fermée contient  $S_1 + S_2 + S_3$  (surface latérale)



$$\oint_{\Sigma} \vec{E} d\vec{S} = \frac{q_{int}}{\epsilon_0}$$

$$\iint_{S_1} \vec{E} d\vec{S} + \iint_{S_2} \vec{E} d\vec{S} + \iint_{S_3} \vec{E} d\vec{S} = 0$$

Le flux sur  $S_3$  est nul car  $\vec{E} \perp d\vec{S}$

on obtient donc

$$E_1 S - E_2 S + 0 = 0$$

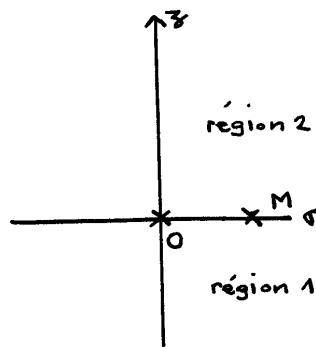
$$E(z_1) = E(z_2) \quad \forall z_1 \text{ et } z_2 > 0$$

$\vec{E}$  est uniforme pour  $z > 0$

→ on refait la même démonstration avec  $z_1$  et  $z_2 < 0$

$\vec{E}$  est uniforme pour  $z < 0$

15)



$$(\text{donc } \vec{n}_{1 \rightarrow 2} = +\vec{u}_z)$$

→ On écrit la relation de discontinuité à la traversée d'une surface chargée (cf 11)

$$\begin{aligned} \vec{E}_2(M) - \vec{E}_1(M) &= \frac{\sigma(M)}{\epsilon_0} \vec{n}_{1 \rightarrow 2} \\ \vec{E}(z=0^+) - \vec{E}(z=0^-) &= \frac{\sigma}{\epsilon_0} \vec{u}_z \end{aligned}$$

→ On utilise l'uniformité du champ dans chaque région (cf 14)

$$\begin{aligned} \vec{E}(z>0) - \vec{E}(z<0) &= \frac{\sigma}{\epsilon_0} \vec{u}_z \\ E(z>0) \vec{u}_z - E(z<0) \vec{u}_z &= \frac{\sigma}{\epsilon_0} \vec{u}_z \\ E(z>0) - E(z<0) &= \frac{\sigma}{\epsilon_0} \end{aligned}$$

→ on utilise l'imparité de  $E(z)$  (cf 13)

$$E(z>0) - (-E(z>0)) = \frac{\sigma}{\epsilon_0}$$

Finalement  $E(z>0) = \frac{\sigma}{2\epsilon_0}$

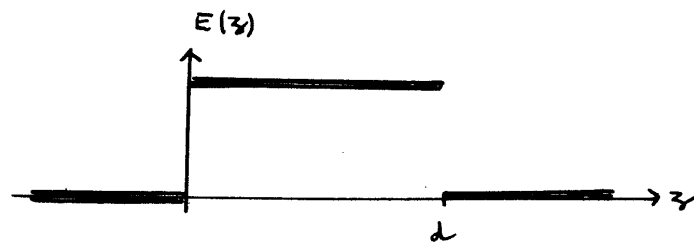
$$\begin{aligned} \vec{E}(z>0) &= \frac{\sigma}{2\epsilon_0} \vec{u}_z \\ \vec{E}(z<0) &= -\frac{\sigma}{2\epsilon_0} \vec{u}_z \\ \vec{E}(z=0) &\text{ non défini} \end{aligned}$$

16)

$$\vec{E} = \underbrace{\vec{E}_1}_{\text{créé par } D1} + \underbrace{\vec{E}_2}_{\text{créé par } D2}$$

		$\vec{E}_1$	$\vec{E}_2$	$\vec{E}$
	$z < 0$	$\frac{\sigma}{2\epsilon_0} \vec{u}_z$	$\frac{(-\sigma)}{2\epsilon_0} \vec{u}_z$	$\vec{0}$
	$0 < z < d$	$\frac{\sigma}{2\epsilon_0} \vec{u}_z$	$-\frac{(-\sigma)}{2\epsilon_0} \vec{u}_z$	$\frac{\sigma}{\epsilon_0} \vec{u}_z$
	$z > d$	$-\frac{\sigma}{2\epsilon_0} \vec{u}_z$	$-\frac{(-\sigma)}{2\epsilon_0} \vec{u}_z$	$\vec{0}$

$z < 0 \quad \vec{E} = \vec{0}$ $0 < z < d \quad \vec{E} = \frac{\sigma}{\epsilon_0} \vec{u}_z$ $z > d \quad \vec{E} = \vec{0}$
---



17)

$$\vec{E} = - \text{grad } V$$

$$dV = - \vec{E} \cdot d\vec{l}$$

$$= - E(z) \vec{u}_z \cdot (dx \vec{u}_x + dy \vec{u}_y + dz \vec{u}_z)$$

$dV = - E(z) dz$
------------------

$$\underline{z < 0}$$

$$dV = 0$$

$$V = A \quad (\text{constante})$$

$$\underline{0 < z < d}$$

$$dV = - \frac{\sigma}{\epsilon_0} dz$$

$$V = - \frac{\sigma}{\epsilon_0} z + B$$

il y a continuité du potentiel à la traversée d'une surface chargée :

En  $z=0$ 

$$\rightarrow A = -\frac{\sigma}{\epsilon_0} \times 0 + B$$

donc  $B = A$  $z > d$ 

$$dV = 0$$

$$V = C \text{ (constante)}$$

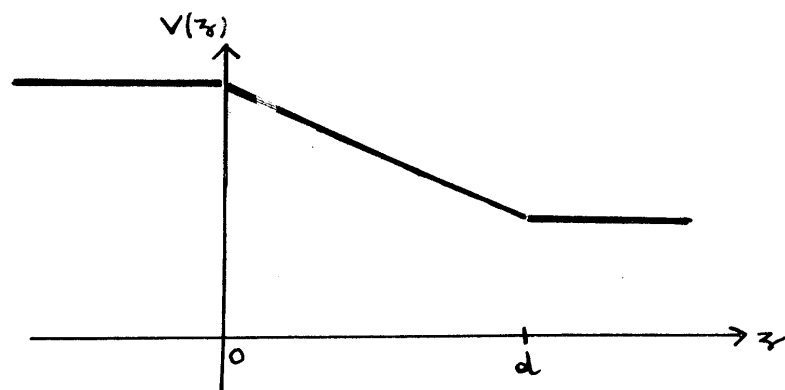
On écrit la continuité du potentiel

En  $z = d$ 

$$\rightarrow C = -\frac{\sigma}{\epsilon_0} d + A$$

finalement :

$z < 0$	$V = A$
$0 < z < d$	$V = -\frac{\sigma}{\epsilon_0} z + A$
$z > d$	$V = -\frac{\sigma}{\epsilon_0} d + A$

18)  $\rightarrow$  donc

$$V_1 = A$$

$$V_2 = -\frac{\sigma}{\epsilon_0} d + A$$

$$U = \frac{\sigma}{\epsilon_0} d$$

ou

$$dQ = \sigma dS$$

$$Q = \iint_{\text{armature 1}} \sigma dS$$

$$= \sigma S$$

$$= \sigma \pi R^2$$

finalement :

$$\sigma = \epsilon_0 \frac{U}{d}$$

$$Q = \frac{\epsilon_0 \pi R^2}{d} U$$

$$C = \frac{\epsilon_0 \pi R^2}{d}$$

→ on a vu que, entre les armatures,

$$\vec{E} = \frac{\sigma}{\epsilon_0} \vec{u}_z$$

donc

$$\vec{E} = \frac{U}{d} \vec{u}_z$$

( le champ étant uniforme, on peut confondre dérivée  $-\frac{dV}{dz}$   
et taux d'accroissement  $-\frac{\Delta V}{\Delta z} = \frac{U}{d}$  )

19)

$$\omega = 2\pi f$$

A.N.

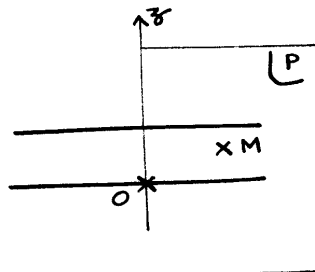
$$= 2\pi \times 50$$

$$\omega = 314 \text{ rad s}^{-1}$$

20)

$$d\vec{r} = dr \vec{u}_r + r d\theta \vec{u}_\theta + dz \vec{u}_z$$

21)



→ le plan (P) contenant  $oz$  et passant par M est un plan de symétrie. le champ  $\vec{B}$  en M est donc perpendiculaire à ce plan.

donc  $\vec{B}$  est selon  $\vec{u}_\theta$

→ le problème est invariant en rotation selon  $\theta$  donc

$\vec{B}$  indépendant de  $\theta$

→ Les sources, donc les champs dépendent ici du temps.

finallement :

$$\vec{B}(M, t) = \vec{B}(r, \phi, z, t) \vec{u}_\theta$$

23) On avait, en électrostatique,

$$\vec{E}(M) = \frac{U}{d} \vec{u}_z$$

Ici

$$\vec{E}(M, t) = \underbrace{\frac{U_{\max}}{d} \cos \omega t}_{E_0} \vec{u}_z$$

23) Dans l'espace interarmatures, on se trouve dans le vide. Il n'y a pas de charges libres dans le vide, donc pas de courants. Donc  $I_{\text{enlace}} = 0$  et le théorème d'Ampère devient :

$$\oint_C \vec{B} \cdot d\vec{l} = \frac{1}{c^2} \frac{d}{dt} \iint_S \vec{E} \cdot d\vec{S}$$

on pose  $\Phi_E = \iint_S \vec{E} \cdot d\vec{S}$

(flux de  $\vec{E}$  à travers  $S$ )

$$\oint_C \vec{B} \cdot d\vec{l} = \frac{1}{c^2} \frac{d}{dt} \Phi_E \quad \text{relation 1}$$

24)

$$\begin{aligned} \oint_{C_1} \vec{B} \cdot d\vec{l} &= \oint_{C_1} B \vec{u}_\theta \left( \cancel{dr \vec{u}_r} + r d\theta \vec{u}_\theta + \cancel{dz \vec{u}_z} \right) \\ &= \oint_{C_1} B(r, z, t) r d\theta \\ &= B(r, z, t) r \underbrace{\oint_{C_1} d\theta}_{2\pi} \end{aligned}$$

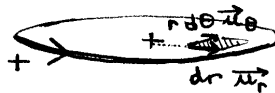


$$= B(r, z, t) \underbrace{2\pi r}_{L_1}$$

On retrouve, évidemment, la longueur du cercle  $C_1$

$$L_1 = 2\pi r$$

25)



$$d\vec{S}_1 = dr \, r d\theta \, \vec{u}_z$$

26)

$$\begin{aligned} \Phi_E &= \iint_{S_1} \vec{E} \cdot d\vec{S}_1 \\ &= \iint_{S_1} E_0 \cos \omega t \, \vec{u}_z \cdot dr \, r \, d\theta \, \vec{u}_z \\ &= E_0 \cos \omega t \int_0^r r' dr' \int_0^{2\pi} d\theta \end{aligned}$$

$$\Phi_E = E_0 \cos \omega t \, \pi r^2$$

On retrouve, évidemment, puisque le champ est uniforme, la valeur du champ multipliée par la surface totale.

$$\frac{d\Phi_E}{dt} = -E_0 \omega \sin \omega t \, \pi r^2$$

27)

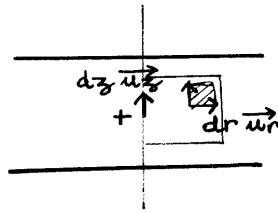
$$\oint_{C_1} \vec{B} \cdot d\vec{l} = \frac{1}{c^2} \frac{d}{dt} \Phi_E$$

$$B(r, z, t) 2\pi r = \frac{1}{c^2} \times -E_0 \omega \sin \omega t \, \pi r^2$$

$$\vec{B} = -\frac{E_0 \omega}{2c^2} r \sin \omega t \, \vec{u}_\theta$$

(valable seulement pour  $0 < z < d$ , c'est en ce sens que  $\vec{B}$  dépend de  $z$ )

28)



$$\vec{dS}_2 = dr dz \vec{u}_0$$

29)

$$\Phi_B = \iint_{S_2} \vec{B} \cdot \vec{dS}_2$$

$$= \iint_{S_2} -\frac{E_0 \omega}{2c^2} r \sin \omega t \vec{u}_0 \cdot dr dz \vec{u}_0$$

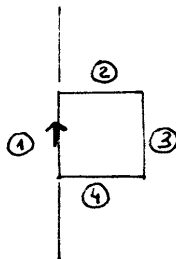
$$= -\frac{E_0 \omega}{2c^2} \sin \omega t \iint_{S_2} r dr dz$$

$$= -\frac{E_0 \omega}{2c^2} \sin \omega t \int_0^r r' dr' \int_{z_{\min}}^{z_{\max}} dz$$

$$\Phi_B = -\frac{E_0 \omega}{4c^2} \sin \omega t r^2 \Delta z$$

$$-\frac{d\Phi_B}{dt} = \frac{E_0 \omega^2}{4c^2} \cos \omega t r^2 \Delta z$$

30)



$$\oint_{C_2} \vec{E} \cdot d\vec{l} = \int_1 \vec{E} \cdot d\vec{l} + \int_2 \vec{E} \cdot d\vec{l} + \int_3 \vec{E} \cdot d\vec{l} + \int_4 \vec{E} \cdot d\vec{l}$$

$$= \int_1 \vec{E} \cdot d\vec{l} + \int_2 \vec{E} \cdot d\vec{l} + \int_3 \vec{E} \cdot d\vec{l} + \int_4 \vec{E} \cdot d\vec{l}$$

$\uparrow$  nul car  $\vec{E} \perp d\vec{l} = dr \vec{u}_r$ 
 $\uparrow$  nul (même raison)

$$= \int_1 \vec{E} \cdot d\vec{l} + \int_3 \vec{E} \cdot d\vec{l}$$

$$= \int_{z_{\min}}^{z_{\max}} E(r'=0) dz + \int_{z_{\max}}^{z_{\min}} E(r'=r) dz$$

$$\text{or } E(r'=0) = E(r'=r)$$

donc

$$\oint_{C_2} \vec{E} \cdot d\vec{l} = 0$$

31) La loi de Faraday n'est pas vérifiée rigoureusement ici dans le cadre de l'approximation des régimes stationnaires.

$$\oint_{C_2} \vec{E} \cdot d\vec{l} \neq - \frac{d\Phi_B}{dt}$$

32)  $\vec{E}(r,t) = \vec{E}_0(t)$   
Le champ est supposé uniforme. On connaît son expression pour  $r=0$

$$\vec{E}_0(t) = E_0 \exp(j\omega t) \vec{u}_z$$

33) Cette question a déjà été traitée entre 24) et 27)  
On applique le théorème d'Ampère au contour  $C_1$

$$\oint_{C_1} \vec{B}_0 \cdot d\vec{l} = \frac{1}{c^2} \frac{d}{dt} \iint_{S_1} \vec{E}_0(t) \cdot d\vec{S}_1$$

$$\vec{B}_0(r,t) 2\pi r = \frac{1}{c^2} j\omega E_0 \exp(j\omega t) \pi r^2$$

$$\vec{B}_0(r,t) = \frac{j\omega E_0}{2c^2} r \exp(j\omega t) \vec{u}_\theta$$

34) on corrige:

$$\vec{E}(r,t) = \vec{E}_0(t) + \vec{E}_1(r,t)$$

On applique la loi de Faraday au contour  $C_2$

$$\oint_{C_2} (\vec{E}_0(t) + \vec{E}_1(r,t)) \cdot d\vec{l} = - \frac{d}{dt} \iint_{S_2} \vec{B}_0(r,t) \cdot d\vec{S}_2$$

on a déjà vu à la question 30)

$$\oint_{C_2} \vec{E}_0(t) \cdot d\vec{l} = 0$$

Donc, on doit résoudre:

$$\oint_{C_2} \vec{E}_1(r,t) \cdot d\vec{l} = - \frac{d}{dt} \iint_{S_2} \vec{B}_0(r,t) \cdot d\vec{S}_2$$

avec  $\oint_{C_2} \vec{E}_1(r,t) d\vec{l} = \int_{S_2} \vec{E}_1 d\vec{l}$  car les 3 autres intégrales sont nulles (cf 33))

$$= E_1(r,t) (z_{min} - z_{max})$$

$$= -E_1(r,t) \Delta z$$

et  $-\frac{d}{dt} \int_{S_2} \vec{B}_0(r,t) d\vec{S}_2 = -j\omega \int_{S_2} \frac{j\omega E_0}{2c^2} r' \exp(j\omega t) dr' dz$

$$= \frac{\omega^2 E_0}{2c^2} \exp(j\omega t) \frac{r^2}{2} \Delta z$$

Finalement :

$$\vec{E}_1(r,t) = -\frac{\omega^2 E_0 r^2}{4c^2} \exp(j\omega t) \vec{u}_z$$

35) On applique le théorème d'Ampère au contour  $C_1$

$$\oint_{C_1} (\vec{B}_0 + \vec{B}_1) d\vec{l} = \frac{1}{c^2} \frac{d}{dt} \int_{S_1} (\vec{E}_0 + \vec{E}_1) d\vec{S}_1$$

En tenant compte de 33), le terme correctif vérifie

$$\oint_{C_1} \vec{B}_1 d\vec{l} = \frac{1}{c^2} \frac{d}{dt} \int_{S_1} \vec{E}_1 d\vec{S}_1$$

$$\vec{B}_1 \cdot 2\pi r = \frac{1}{c^2} j\omega \times \frac{-\omega^2 E_0}{4c^2} \exp(j\omega t) \int_{S_1} r'^2 dr' r' d\theta$$

$$\vec{B}_1(r,t) = -\frac{j\omega^3 E_0 r^3}{16c^4} \exp(j\omega t) \vec{u}_\theta$$

36) on applique la loi de Faraday au contour  $C_2$

En tenant compte de 34), le terme correctif vérifie

$$\oint_{C_2} \vec{E}_2 d\vec{l} = -\frac{d}{dt} \int_{S_2} \vec{B}_1 d\vec{S}_2$$

$$-E_2 \Delta z = -j\omega \times \frac{-j\omega^3 E_0}{16c^4} \exp(j\omega t) \int_{S_2} r'^3 dr' dz$$

$$\vec{E}_2(r,t) = \frac{\omega^4 E_0 r^4}{64c^4} \exp(j\omega t) \vec{u}_z$$

37) On applique le théorème d'Ampère au contour  $C_1$

En tenant compte de 35), le terme correctif vérifie

$$\oint_{C_1} \vec{B}_2 d\vec{l} = \frac{1}{c^2} \frac{d}{dt} \int_{S_1} \vec{E}_2 d\vec{S}_1$$

$$\vec{B}_2 \cdot 2\pi r = \frac{1}{c^2} j\omega \times \frac{\omega^4 E_0}{64c^4} \exp(j\omega t) \int_{S_1} r'^4 dr' r' d\theta$$

$$2\pi \frac{r^6}{6}$$

$$\vec{B}_2(r,t) = j \frac{\omega^5 E_0 r^5}{384 c^6} \exp(j\omega t) \vec{u}_\theta$$

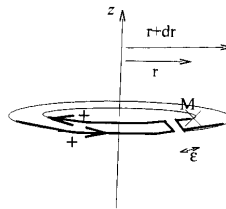
38) on obtient donc

$$\vec{E} = E_0 \exp(j\omega t) \vec{u}_z \left( 1 - \frac{\omega^2 r^2}{4 c^2} + \frac{\omega^4 r^4}{64 c^4} + \dots \right)$$

$$\vec{B} = \frac{E_0}{c} \exp(j\omega t) \vec{u}_\theta \left( \frac{j\omega r}{2c} - \frac{j\omega^3 r^3}{16 c^3} + \frac{j\omega^5 r^5}{384 c^5} + \dots \right)$$

$$\vec{B} = \frac{j\omega r E_0}{2c^2} \exp(j\omega t) \vec{u}_\theta \left( 1 - \frac{\omega^2 r^2}{8 c^2} + \frac{\omega^4 r^4}{192 c^4} + \dots \right)$$

39)



$$\oint_C \vec{B} \cdot d\vec{l} = \frac{1}{c^2} \frac{d}{dt} \Phi_E$$

En complexes :

$$\oint_C \vec{B} \cdot d\vec{l} = \frac{1}{c^2} j\omega \int_S \vec{E} \cdot d\vec{S}$$

$\vec{S} \rightarrow dr \, r \, d\theta \, \vec{u}_z$

$$\begin{aligned} & \underline{B}(r+dr, t) 2\pi(r+dr) \\ - & \underline{B}(r, t) 2\pi r = \frac{1}{c^2} j\omega \underline{E} \, r \, dr \, 2\pi \end{aligned}$$

On pose  $g(r, t) = \underline{B}(r, t) 2\pi r$  et l'on constate que le terme de gauche correspond à  $g(r+dr, t) - g(r, t) = \frac{\partial g(r, t)}{\partial r} dr$   
L'équation obtenue est donc :

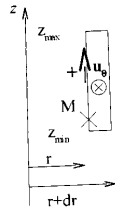
$$\frac{\partial}{\partial r} ( \underline{B}(r, t) 2\pi r ) = \frac{1}{c^2} j\omega \underline{E} \, r \, 2\pi$$

$$\frac{\partial}{\partial r} ( r \underline{B}(r, t) ) = \frac{j\omega r}{c^2} \underline{E}(r, t)$$

Et en simplifiant par  $\exp(j\omega t)$

$$\frac{d}{dr} ( r \underline{B}(r) ) = \frac{j\omega r}{c^2} \underline{E}(r)$$

40)



$$\oint_C \vec{E} \cdot d\vec{\ell} = - \frac{d\phi_B}{dt}$$

En complexes :

$$\oint_C \vec{E} \cdot d\vec{\ell} = - j\omega \int_S \vec{B} \cdot \vec{dS} \quad \xrightarrow{L \rightarrow dr dz} \vec{u}_0$$

$$\begin{aligned} \underline{E}(r, t) \Delta z \\ - \underline{E}(r+dr, t) \Delta z &= - j\omega \underline{B} dr \Delta z \end{aligned}$$

On pose  $\underline{E}(r, t) - \underline{E}(r+dr, t) = - \frac{\partial \underline{E}(r, t)}{\partial r} dr$  et  
l'équation obtenue devient :

$$\frac{\partial}{\partial r} (\underline{E}(r, t)) = j\omega \underline{B}(r, t)$$

Et en simplifiant par  $\exp(j\omega t)$ 

$$\frac{d}{dr} \underline{E}(r) = j\omega \underline{B}(r)$$

41) Equation différentielle vérifiée par  $\underline{E}(r)$  :

$$\frac{d}{dr} (r \underline{B}(r)) = \frac{j\omega r}{c^2} \underline{E}(r)$$

$$\frac{d}{dr} \left( r \frac{1}{j\omega} \frac{d\underline{E}(r)}{dr} \right) = \frac{j\omega r}{c^2} \underline{E}(r)$$

$$\frac{1}{r} \frac{d}{dr} \left( r \frac{d\underline{E}(r)}{dr} \right) + \frac{\omega^2}{c^2} \underline{E}(r) = 0$$

42)

$$\frac{d^2 \underline{E}(r)}{dr^2} + \frac{1}{r} \frac{d\underline{E}(r)}{dr} + \frac{\omega^2}{c^2} \underline{E}(r) = 0$$

On cherche une solution sous la forme :

$$\underline{E}(r) = \sum_{n=0}^{\infty} \underline{a}_n r^n$$

$$\frac{d\underline{E}(r)}{dr} = \sum_{n=0}^{\infty} n \underline{a}_n r^{n-1}$$

$$\frac{d^2\underline{E}(r)}{dr^2} = \sum_{n=0}^{\infty} n(n-1) \underline{a}_n r^{n-2}$$

On reporte :

$$\begin{aligned} \frac{d^2\underline{E}(r)}{dr^2} + \frac{1}{r} \frac{d\underline{E}(r)}{dr} + \frac{\omega^2}{c^2} \underline{E}(r) &= 0 \\ \sum_{n=0}^{\infty} n(n-1) \underline{a}_n r^{n-2} + \sum_{n=0}^{\infty} n \underline{a}_n r^{n-1} + \frac{\omega^2}{c^2} \sum_{n=0}^{\infty} \underline{a}_n r^n &= 0 \\ \underbrace{\sum_{n=0}^{\infty} n^2 \underline{a}_n r^{n-2}} + \frac{\omega^2}{c^2} \sum_{n=0}^{\infty} \underline{a}_n r^n &= 0 \\ \frac{r \underline{a}_1}{r} + \sum_{n=2}^{\infty} n^2 \underline{a}_n r^{n-2} + \frac{\omega^2}{c^2} \underbrace{\sum_{n=0}^{\infty} \underline{a}_n r^n}_{\sum_{n=2}^{\infty} \underline{a}_{n-2} r^{n-2}} &= 0 \end{aligned}$$

$$\boxed{\frac{r \underline{a}_1}{r} + \sum_{n=2}^{\infty} (n^2 \underline{a}_n + \frac{\omega^2}{c^2} \underline{a}_{n-2}) r^{n-2} = 0}$$

$$\rightarrow \text{pour } n \geq 2 \quad \underline{a}_n = - \frac{\omega^2}{c^2} \frac{\underline{a}_{n-2}}{n^2}$$

$$\rightarrow \text{en } r=0 \quad \underline{E}(r) = \underline{a}_0 = E_0$$

Donc

$$\underline{a}_0 = E_0$$

$$\underline{a}_2 = - \frac{\omega^2}{c^2} \frac{1}{4} E_0$$

$$\underline{a}_4 = \frac{\omega^4}{c^4} \frac{1}{4 \times 16} E_0$$

... etc

$$\rightarrow \text{en } r=0 \quad \frac{d\underline{E}(r)}{dr} = \underline{a}_1 = 0$$

Donc

$$\underline{a}_1 = 0$$

$$\underline{a}_3 = 0$$

$$\underline{a}_5 = 0$$

... etc

---

43) finalement, on obtient :

$$\underline{E}(r) = \sum_{n=0}^{\infty} \underline{a}_n r^n$$

$$= E_0 - \frac{\omega^2}{4c^2} E_0 r^2 + \frac{\omega^4}{64c^4} E_0 r^4 + \dots$$

$$\underline{E}(r,t) = \underline{E}(r) \exp j\omega t$$

$$= E_0 \exp j\omega t \left( 1 - \frac{\omega^2 r^2}{4c^2} + \frac{\omega^4 r^4}{64c^4} + \dots \right)$$

ce qui correspond à la réponse obtenue précédemment.

---